

## پایه‌سازی مؤثر و کارآمد حمله تحلیل تفاضلی الکترومغناطیس بر روی یک تحقق سخت‌افزاری

### الگوریتم رمزنگاری AES

محمدهادی رضایتی<sup>۱\*</sup>، احمدرضا امین<sup>۲</sup>، مسعود معصومی<sup>۳</sup>، حامد مومنی<sup>۴</sup>

۱- کارشناس ارشد الکترونیک، دانشگاه جامع امام حسین<sup>(ع)</sup> ۲- استادیار، دانشگاه جامع امام حسین<sup>(ع)</sup>

۳- استادیار، دانشگاه آزاد اسلامی واحد اسلامشهر، گروه الکترونیک ۴- کارشناس ارشد رمز، دانشگاه جامع امام حسین<sup>(ع)</sup>

( دریافت: ۹۲/۱۲/۲۱، پذیرش: ۹۳/۵/۱۵ )

#### چکیده

حمله تحلیل الکترومغناطیس، نوع قدرتمند و منحصر بفردی از حملات کانال جانبی است که از تشعشعات ساطع شده از تراشه در حال رمز کردن اطلاعات برای شکستن الگوریتم رمز و به دست آوردن کلید آن استفاده می‌کند. پایه‌سازی عملی این حمله بر روی تراشه‌های رمزنگاری به دلیل وجود پیچیدگی‌های خاص، خود موضوعی کاملاً جذاب و در عین حال چالش برانگیز است. یکی از مهم‌ترین این چالش‌ها، اندازه‌گیری و ثبت تشعشعات الکترومغناطیس ساطع شده از یک تراشه به طور صحیح و با کمترین میزان نویز ممکن می‌باشد. در این مقاله، نحوه تحقق حمله الکترومغناطیس بر روی الگوریتم رمز AES بررسی شده است. همچنین نحوه ساخت پروب و تقویت کننده الکترومغناطیس مورد نیاز برای انجام این تحلیل که بحرانی‌ترین بخش انجام تحلیل می‌باشد، تشریح گردیده است. نتایج پایه‌سازی حمله الکترومغناطیس علیه تحقق رمز AES بر روی میکروکنترلر ۸۰۵۱ نشان دهنده صحت روش تحلیل و موفق بودن حمله مزبور می‌باشد.

**واژه‌های کلیدی:** حمله تحلیل الکترومغناطیس، الگوریتم AES، پروب مغناطیسی

#### ۱. مقدمه

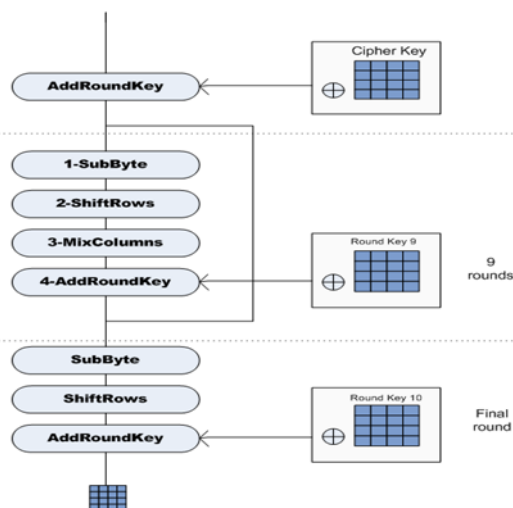
بعد از مقاله پاول کوچر [۱] که در سال ۱۹۹۶ منتشر شد، مقالات زیادی موفقیت حملات کانال جانبی روی پایه‌سازی الگوریتم‌های متقارن و نامتقارن را گزارش کردند [۲-۶].

تشعشعات الکترومغناطیس تراشه‌ها با جریان تغذیه آنها در یک دستگاه رمزنگاری همبسته هستند. استاندارد IEC ۶۱۹۶۷ حداکثر سطح مجاز تشعشعات یک تراشه را مشخص می‌کند [۷]، در حالیکه برای تراشه‌های پایه‌ساز الگوریتم رمزنگاری، ملاحظات اضافی دیگری نیز باید در نظر گرفته شود. با توجه به اینکه انتشارات الکترومغناطیس و جریان یک تراشه به داده‌های در حال پردازش تراشه بستگی دارد، بنابراین با اندازه‌گیری آنها برای تراشه‌ای که در حال اجرای الگوریتم رمزنگاری است می‌توان اطلاعاتی در مورد کلید رمز الگوریتم رمزنگاری به دست آورد.

در مدل متداول و سنتی، امنیت سیستم‌های رمزنگاری از منظر توابع ریاضی به کاررفته ارزیابی می‌شود. این روش، آثار فیزیکی و الکتریکی جانبی در پایه‌سازی توابع و مدارات را در نظر نمی‌گیرد. در مدل واقعی‌تر، برای ارزیابی امنیت ابزار رمزنگاری، به حملات کانال جانبی یا حملاتی که از اطلاعات مرتبط با پایه‌سازی فیزیکی توابع رمزنگاری استفاده می‌کنند نیز توجه می‌شود. حمله تحلیل تفاضلی الکترومغناطیس، نوع قدرتمند و منحصر بفردی از حملات کانال جانبی است که از تشعشعات ساطع شده از تراشه‌ای که در حال رمز کردن اطلاعات است برای شکستن الگوریتم رمز و به دست آوردن کلید آن استفاده می‌کند. پایه‌سازی عملی این‌گونه حملات بر روی انواع تراشه‌های رمزنگاری به دلیل وجود پیچیدگی‌های هر یک از آنها موضوعی جذاب و در عین حال چالش برانگیز است.

می‌کنند. طول متن اصلی ۱۲۸ بیت ثابت است. درحالی‌که طول کلید می‌تواند ۱۲۸، ۱۹۲ یا ۲۵۶ بیت باشد. الگوریتم AES یک الگوریتم تکراری است. هر تکرار یک دور نامیده می‌شود و تعداد کل دورها ۱۰، ۱۲ و یا ۱۴ دور است.

ورودی الگوریتم، یک قالب ۱۲۸ بیتی اطلاعات است که به ۱۶ بایت تقسیم می‌شود. این بایت‌ها وارد آرایه‌های  $4 \times 4$  که حالت نامیده می‌شوند، می‌شوند. هر عضو این آرایه، عنصری از میدان محدود  $GF(2^8)$  است که بر چند جمله‌ای اولیه همه  $m(x) = x^8 + x^4 + x^3 + x + 1$  بنا نهاده شده است. همه عملیات‌های مختلف الگوریتم AES از قبیل جمع با کلید دور، جانشینی بایت‌ها، شیفت سطری و مخلوط کردن ستون‌ها بر روی همین آرایه انجام می‌گیرد [۱۰].



شکل ۱. دیاگرام قالبی الگوریتم AES

هر دور الگوریتم AES شامل چهار عملیات است. فقط دور آخر یعنی دور دهم شامل سه عملیات است. در عملیات جانشینی بایت‌ها (SubBytes()) هر بایت با معکوس ضربی خود در میدان جایگزین می‌شود یا به عبارت دیگر، هر بایت با بایت متناظر خود در SRDSBox جایگزین می‌شود.

$$\text{SubBytes: } S_{i,j}^{[r]} \leftarrow S_{RD} \left( S_{i,j}^{[r]} \right)$$

در عملیات شیفت دادن سطرها (ShiftRows()) سطر  $i$  از ماتریس State به‌طور حلقوی  $i$  بایت به سمت چپ شیفت می‌خورد

$$\text{ShiftRows: } S_{i,j}^{[r]} \leftarrow S_{i,(j+i) \bmod 4}^{[r]}$$

از مهم‌ترین حملات کانال جانبی می‌توان به حمله تحلیل توان و تحلیل الکترومغناطیس اشاره کرد. در مقایسه با حمله تحلیل توان، حمله الکترومغناطیس دارای مزیت‌های بسیار زیادی می‌باشد، زیرا حمله تحلیل توان فقط می‌تواند توان مصرفی کلی تراشه را به دست آورد [۸ و ۹]. برای تحلیل تراشه‌ها و پردازنده‌های نسل جدید که در یک کلاک توانایی اجرای چند دستور را دارند، توان مصرفی به دست آمده حاصل اجرای چند دستور بوده که تحلیل را بسیار دشوار می‌کند. در برخی از مقالات، موثر بودن تحلیل الکترومغناطیس اثبات شده است که مهم‌ترین مزیت آن، گرفتن سیگنال از قسمت خاصی از تراشه است. سیگنال الکترومغناطیس دستگاه‌ها معمولاً ضعیف و نویزی است [۱۱]. بنابراین، سیستم ابزار اندازه‌گیری سیگنال الکترومغناطیس بسیار مهم است.

بسیاری از الگوریتم‌های شناخته شده مانند AES، DES، RSA و ECC که به لحاظ تئوری در برابر حملات آماری و کلاسیک امن هستند، در برابر این نوع حمله، ظرف مدت کوتاهی شکسته می‌شوند.

با توجه به مطالب ارائه شده در خصوص اهمیت پیاده‌سازی الگوریتم‌ها، امنیت میکروکنترلرها<sup>۱</sup> در برابر حملات پیاده‌سازی نیز موضوعی بسیار مهم است. در این مقاله نحوه آسیب‌پذیری میکروکنترلر AT89C51AC2 در برابر این حملات مورد بررسی قرار گرفته و یک نمونه عملی از نحوه پیاده‌سازی حمله تحلیل الکترومغناطیس و نتایج به دست آمده از آن تشریح شده است. همچنین ابزارهای اندازه‌گیری حمله الکترومغناطیس در میدان نزدیک معرفی شده نیز طراحی و ساخت پروب مغناطیسی استفاده شده به منظور اجرای حمله بیان شده است.

در ادامه مقاله، ابتدا در بخش ۲، الگوریتم AES و سپس در بخش ۳، اصول تحلیل الکترومغناطیس تشریح شده است. در بخش ۴ در رابطه با ابزارهای اندازه‌گیری شامل برد و پروب ساخته شده بحث می‌شود. بخش ۵ به نحوه تحقق عملی حمله و بستر آزمایشگاهی مورد نیاز برای پیاده‌سازی آن اختصاص داده شده است. در بخش ۶ نتایج عملی به دست آمده را ارائه داده و در انتها به جمع‌بندی موضوع و ارائه نتایج نهایی پرداخته شده است.

## ۲. الگوریتم AES

الگوریتم AES یک رمز کلید متقارن است، که هم گیرنده و هم فرستنده از یک کلید مشابه برای رمزگذاری و رمزگشایی استفاده

این تابع انتخاب مشاهدات را به دو دسته جداگانه تقسیم می‌کند: دسته‌ای که تابع انتخاب، خروجی مقدار صفر را و دسته‌ای که تابع انتخاب خروجی مقدار یک را بر می‌گرداند.

(۴) پس از متوسط‌گیری از هر دو دسته، از آنها تفاضل می‌گیریم.

(۵) برای هر منحنی، تفاضل بزرگترین پیک و مقدار متوسط آن محاسبه شده و مقدار نسبت بزرگترین پیک به مقدار متوسط را نگاه می‌داریم.

(۶) مراحل ۳ تا ۵ را برای تمام ۱۲۸ کلید ممکن تکرار می‌کنیم که ۱۲۸ منحنی تفاضل به‌دست خواهد آمد.

(۷) سپس این منحنی‌های تفاضل را مورد بازبینی و بررسی قرار می‌دهیم. فقط برای یک حدس صحیح از زیرکلید، تابع انتخاب مقدار صحیحی را برمی‌گرداند و در منحنی‌های تفاضل ضربه‌هایی به‌طور کاملاً متمایز قابل مشاهده خواهد بود. در غیر این صورت، مشاهدات، منحنی‌های نرم و یکنواختی بدون تغییرات عمده خواهد بود.

مراحل ۲ تا ۷ را شانزده مرتبه دیگر تکرار کرده تا ۱۲۸ بیت کلید به‌طور کامل کشف شود.

به‌منظور افزایش نسبت سیگنال به نویز و نیز دقت حمله، به‌جای در نظر گرفتن یک بیت از خروجی، می‌توان یک مجموعه چند بیتی خروجی را مورد بررسی قرار داد. مرجع [۱۳] نشان داده است که به این ترتیب میزان قله‌های ثانویه و قله‌های شبح در منحنی‌های تفاضل کاهش یافته و کیفیت حمله بهبود پیدا می‌کند. مثلاً در حمله به الگوریتم AES، به‌جای در نظر گرفتن یک بیت از خروجی SBox دور اول به‌عنوان تابع هدف می‌توان یک مجموعه چهار بیتی را مورد بررسی قرار داد. در این صورت تابع انتخاب هنگامی که وزن همینگ خروجی بیش از چهار باشد، مقدار یک و در غیر این صورت، مقدار صفر را برمی‌گرداند.

#### ۴. پیاده‌سازی عملی تحلیل تفاضلی الکترومغناطیس

##### علیه یک سیستم واقعی

برای اجرای حمله خود، ابتدا الگوریتم AES را بر روی یک میکروکنترلر هشت بیتی AT89C51AC2 پیاده‌سازی کرده و

در عملیات ترکیب، ستون‌ها (MixColumns()) ستون J را با ضرب‌های ثابت در  $GF(2^8)$  ترکیب می‌کند.

$$\text{MixColumns: } S_{i,j}^{[r]} \leftarrow \bigoplus_{0 \leq l \leq 3} S_{(i-1) \bmod 4, j}^{[r]} \odot c_l$$

$$\text{where } \sum_{0 \leq l \leq 3} c_l X^l = 02 + 01X + 01X^2 + 03X^3$$

#### ۳. حمله تحلیل تفاضلی الکترومغناطیس

با قرار دادن کویل‌هایی در کنار تراشه رمزنگاری و بررسی تشعشعات الکترومغناطیسی ساطع‌شده از آن می‌توان به توالی دستورالعمل‌های اجراشده توسط آن پی برد. این حمله اولین بار توسط Quisquater و Samyde [۱۱] معرفی شد و بعداً توسط دیگران گسترش داده شد. حمله تحلیل زمان، یک حمله یک بعدی است که تنها زمان را اندازه می‌گیرد. حمله آنالیز، توان یک بردار دوبعدی را باز می‌گرداند که نشان‌دهنده نمونه‌های توان در محور زمان است. چون موقعیت کویل‌های اندازه‌گیر تشعشع نیز در حمله الکترومغناطیس مهم است، لذا از این حمله به یک حمله سه بعدی تعبیر می‌شود.

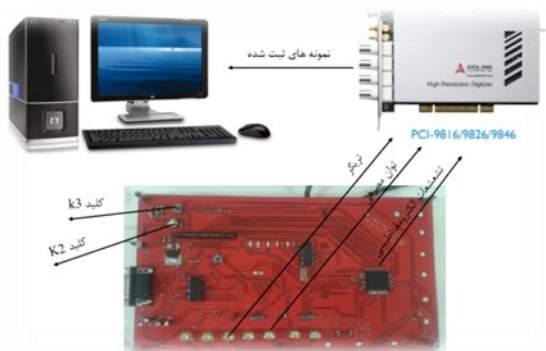
حمله آنالیز مهم‌ترین حمله به پیاده‌سازی AES است. معمولاً این حمله، تابع جانشینی بایت‌ها در دور اول را هدف قرار می‌دهد، زیرا این قسمت تنها بخشی از الگوریتم رمز است که مستقیماً با کلید رمز در ارتباط است. ابتدا مهاجم یک بیت را که تابعی از متن آشکار و قسمتی از کلید باشد انتخاب می‌کند. معمولاً این بیت یکی از بیت‌های تبدیل جانشینی بایت‌ها یا خروجی تابع جمع با کلید دور است. با اجرای مکرر روال حمله، مهاجم قسمتی از کلید را به‌دست می‌آورد که تعداد دفعات اجرای روال حمله بسیار کوچک‌تر از جستجوی جامع فضای کلید است. در ذیل، روال حمله DPA برای شکستن AES را مورد بررسی قرار می‌دهیم [۱۲].

سناریوی حمله تفاضلی توان به‌قرار زیر است:

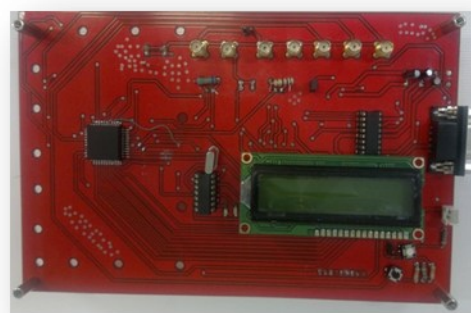
(۱) ابتدا مهاجم N متن آشکار را به‌طور تصادفی تولید می‌کند.

(۲) سپس سیگنال مصرف توان هر متن که حاوی n نمونه است را به‌طور جداگانه اندازه‌گیری و ذخیره می‌کند.

(۳) متن آشکار همراه با اولین بایت زیر کلید اول، به یک مدل فرضی از الگوریتم AES (مثلاً یک AddRoundKey یا یک SBox) داده شده و به این خروجی فرضی، یک تابع انتخاب D اعمال می‌شود.



شکل ۲. برد طراحی شده برای اعمال حمله تحلیل الکترومغناطیس



شکل ۳. برد نمونه بردار سیگنال ساخت شرکت ADLINK

همان طور که گفته شد برای نمونه برداری از اثر توان، از یک کارت نمونه بردار که روی مادربورد رایانه قرار می گیرد، استفاده شده است.

این کارت دارای نرخ نمونه برداری  $40 \text{ MSample/S}$  است. برای شروع یک نمونه برداری از سیگنال الکترومغناطیس، ابتدا رایانه کارت نمونه بردار را آماده می کند و کارت منتظر دریافت سیگنال چکانه برای شروع نمونه برداری می ماند. این چکانه به صورت خارجی و از طریق رمزنگار تولید خواهد شد. علت این امر آن است که در لحظه شروع یک عملیات خاص، کارت شروع به نمونه برداری کند و داده ای از دست نرود.

حال رایانه داده مورد نظر برای رمزنگاری را به رمزنگار می فرستد. سپس به رمزنگار فرمان شروع می دهد. رمزنگار با دریافت این دستور، عملیات خود را آغاز می کند و در ابتدای عملیات، سیگنال چکانه را نیز تولید می کند. با این کار، کارت شروع به نمونه برداری کرده و یک نمونه از اثر تشعشعات الکترومغناطیس شامل ۲۰۰۰ نقطه برداشته می شود. وقتی رمزنگار عملیات خود را تمام کرد، اتمام کار خود را به رایانه اعلام می کند. در این لحظه رایانه با ارسال دنباله دستورات مناسب به کارت، نمونه تشعشع الکترومغناطیس برداشته شده را روی هارد دیسک رایانه ذخیره می کند و سپس کارت را برای نمونه برداری بعدی آماده می کند.

در حملات تحلیل الکترومغناطیس برای داشتن یک نتیجه خوب باید اثر نویزهای تصادفی و نویزهای الکترونیک را حذف کرد. برای حذف نویز، عملیات رمزنگاری برای یک داده مشخص (Plaintext) را ده بار تکرار کرده و نمونه های تشعشع الکترومغناطیس ذخیره می شود. سپس با انتقال داده ها به رایانه، از این نمونه ها میانگین گیری می شود. در واقع با میانگین گیری از ده سیگنال تشعشعات الکترومغناطیس به ازای هر متن اصلی، اثر نویزهای ناخواسته را تا

بدین ترتیب سخت افزار رمزکننده آماده رمزنگاری می شود. میکروکنترلر AT89C51AC2 محصول شرکت Atmel بوده و سهم بسزایی در بازار میکروکنترلرها دارد. میکروکنترلر انتخاب شده دارای واسط RS232 بوده و فضای کافی برای پیاده سازی AES را نیز دارد [۱۴]. رمزکننده ساخته شده از طریق درگاه RS232 به رایانه متصل می شود. برای اعمال حمله تحلیل الکترومغناطیس تمام تمهیدات لازم اندیشیده شده که شکل ۲، برد ساخته شده را نشان می دهد.

یک واسط کاربری روی رایانه با استفاده از نرم افزار MATLAB تهیه شده که با رمزکننده ارتباط برقرار می کند و قالب های ۱۲۸ بیتی داده را برای آن ارسال می کند. سخت افزار رمزکننده با دریافت یک قالب داده، آن را رمز می کند و نتیجه را به رایانه باز می گرداند و همچنین آن را روی LCD نیز نمایش می دهد.

برای ذخیره نمونه ها، جهت تحلیل آنها از کارت نمونه بردار شرکت ADLINK استفاده شده که در شکل ۳ نمایش داده شده است.



شکل ۴. کلیات و چگونگی ارتباط بین رایانه، سخت افزار رمزنگار و کارت نمونه بردار را نشان می دهد.

شکل ۴ کلیات و چگونگی ارتباط بین رایانه، سخت افزار رمزنگار و کارت نمونه بردار را نشان می دهد.

آنتن استفاده‌شده، از نوع آنتن متعادل حلقوی است که در این آنتن، شکاف هوایی وسط حلقه قرار دارد و هادی داخلی در گردنه حلقه زمین می‌شود. در این حلقه به دلیل تقارن، از اثرات ناشی از عدم تعادل جریان‌های کابل جلوگیری می‌شود. در شکل ۷ پیکربندی این نوع آنتن نشان داده شده است [۱۵ و ۱۶].



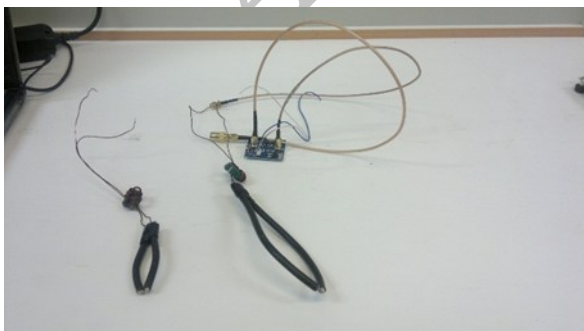
شکل ۷. پیکربندی آنتن متقارن حلقوی

مشخصات آنتن ساخته‌شده در جدول ۱ آمده است.

جدول ۱. مشخصات آنتن ساخته‌شده

قطر حلقه	$V_{cm}$
قطر کابل کواکسیال	۴٫۵mm
شکاف شیلد	۲mm
نوع بالون	بالون با هسته فریتی و ۷ دور سیم

در شکل ۸ نمای کلی پروب مغناطیسی ساخته‌شده نشان داده شده است.



شکل ۸. نمای کلی پروب مغناطیسی ساخته‌شده

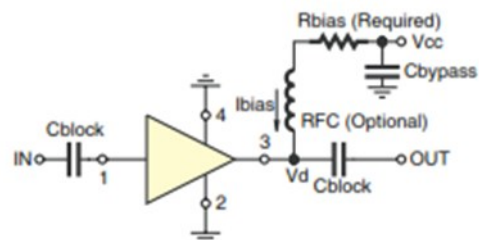
حد امکان از بین برده تا تحلیل دقیق‌تری انجام شود. در نهایت داده‌ها برای میانگین‌گیری، رسم نمودارهای تشعشعات الکترومغناطیس و انجام دیگر تحلیل‌ها از نرم‌افزار MATLAB کمک گرفته شده است.

#### ۱.۴. طراحی و ساخت پروب مغناطیسی برای اجرای حمله

##### الکترومغناطیس

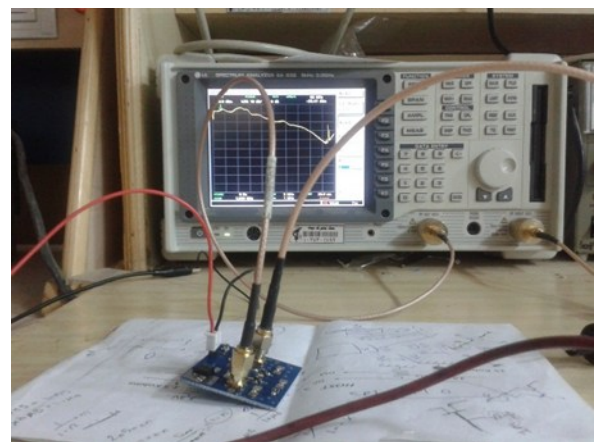
یکی از ابزارهای مهم در اجرای حمله الکترومغناطیس، پروب مغناطیسی می‌باشد. پروب مغناطیسی ساخته‌شده دارای دو قسمت است: تقویت‌کننده و آنتن.

برای ساخت تقویت‌کننده، از دو طبقه تقویت‌کننده فرکانس بالا که شامل تراشه MAR8 است، استفاده شده است. در شکل ۵ نمایش مداری این تراشه را ملاحظه می‌کنید.



شکل ۵. نمایش مداری تراشه MAR8

تقویت‌کننده ساخته‌شده سیگنال گرفته‌شده را تا فرکانس ۵۰۰ MHz و به میزان ۵۰ dbm تقویت می‌کند. شکل ۶ تقویت ساخته‌شده را نشان می‌دهد.

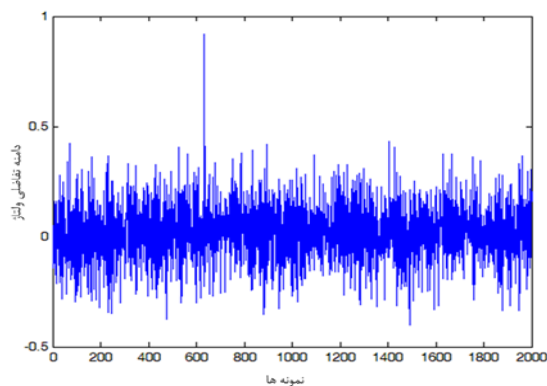


شکل ۶. نمایش از تقویت‌کننده پروب و دستگاه تحلیلگر طیف

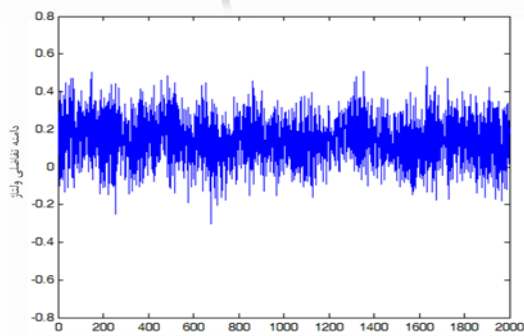
## ۵. نتایج عملی و تحلیل

درست بودن حدس اول و اشتباه بودن دو فرض بعد است. نموداری که دارای بزرگ‌ترین قله متمرکز باشد نشانگر بیشترین همبستگی با بایت متناظر از کلید واقعی است و این حدس را به‌عنوان حدس صحیح کلید در نظر می‌گیرند. این نمودارها دلالت بر این دارد که حدس ما از کلید با آنچه که واقعا در سخت‌افزار اتفاق افتاده همبستگی زیادی دارد.

به‌منظور مقایسه‌ای بین تمام حدس‌های یک بایت از کلید نمودار دیگری رسم می‌کنیم. اگر بخواهیم حداکثر دامنه تشعشعات الکترومغناطیس را به‌ازای تمام حدس‌ها (۲۵۶ حالت) از بایت اول کلید در دور اول، به‌طور همزمان نمایش دهیم شکل ۱۴ را خواهیم داشت. در واقع با توجه به شکل، به ازای عدد ۴۳ که نمایش دسیمال عدد ۲B می‌باشد، بیشترین مقدار تشعشعات الکترومغناطیس ملاحظه می‌شود که نشان‌دهنده حدس صحیح از بایت متناظر در کلید دور اول است. همانطور که در شکل ملاحظه می‌شود، قله توان کلید صحیح و دیگر کلیدها دارای اختلاف قابل قبولی است.



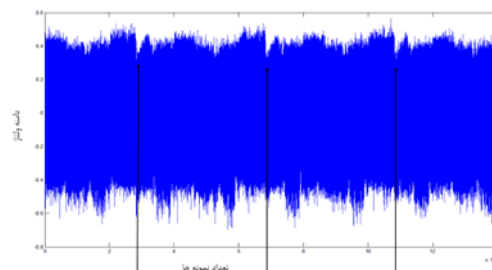
شکل ۱۱. نمودار تفاضل مشاهدات تشعشعات الکترومغناطیس با یک حدس صحیح از زیرکلید دور اول الگوریتم



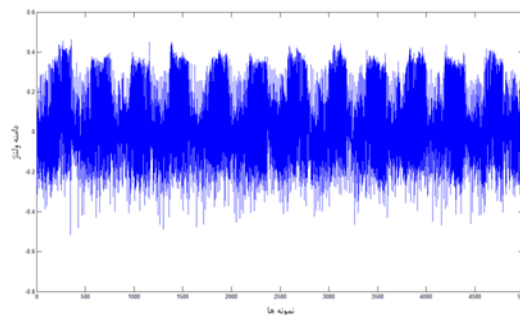
شکل ۱۲. نمودار تفاضل مشاهدات تشعشعات الکترومغناطیس با یک حدس اشتباه از زیرکلید دور اول الگوریتم

در این بخش، نتایج حاصل از اعمال حمله روی پیاده‌سازی ارائه می‌شود. برای اجرای حمله، ۱۰۰ متن اصلی برای رمزنگاری به سخت‌افزار رمزکننده ارسال می‌شود. برای تابع انتخاب تشعشعات الکترومغناطیس و جداسازی مشاهدات از یکدیگر، از وزن همینگ استفاده شده است و داده‌ها به دو دسته با وزن همینگ کمتر و بیشتر یا مساوی از چهار تقسیم شده‌اند. همچنین داده‌های خروجی S-Box دور اول به عنوان داده میانی انتخاب شده‌اند.

پس از نمونه‌برداری، سیگنال تشعشعات الکترومغناطیس میکروکنترلر در هنگام پردازش چهار دور الگوریتم رمزنگاری AES مانند شکل ۹ می‌باشد. همان‌طور که مشخص است، نمودار دارای بخش‌های تکراری است که بیانگر دوره‌های الگوریتم است.



شکل ۹. نمودار تشعشعات الکترومغناطیس پردازش چهار دور الگوریتم AES



شکل ۱۰. سیگنال الکترومغناطیسی حاصل از عملیات جانشینی بایت

در شکل ۱۰ سیگنال الکترومغناطیس حاصل از عملیات جانشینی بایت در دور اول الگوریتم نشان داده شده است.

در شکل‌های ۱۱ تا ۱۳ به ترتیب نمودارهای تفاضلی حاصل برای یک حدس صحیح و دو حدس غیر صحیح برای بایت اول کلید آمده است. همان‌گونه که در شکل‌ها مشخص است، در حالتی که فرض کلید 0x2b است، بیشترین جهش در نمودار حدود  $10^{-3}$

است و در فرض‌های دیگر، بیشترین اندازه جهش نمودار به ترتیب  $0.5 \times 10^{-3}$  و  $0.51 \times 10^{-3}$  است. این به‌دلیل

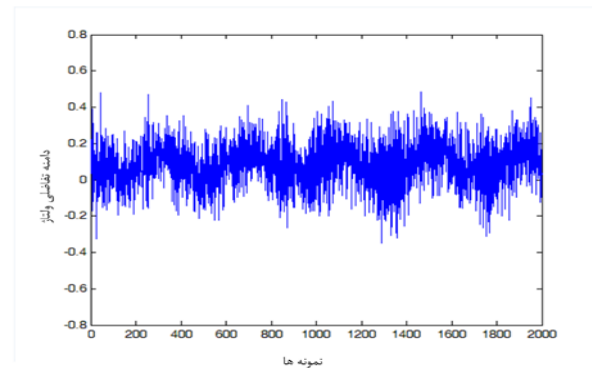


نمونه‌برداری با استفاده از کارت نمونه‌بردار با دقت صورت گرفت، همزمانی بین داده‌ها حفظ شد و اثرهای تشعشعات الکترومغناطیس متناظر با هر ورودی به‌درستی ذخیره شدند. مرحله تحلیل داده‌ها بدون دردسر و با سرعت اجرا شد و بعد از حدود ده ثانیه شانزده بایت کلید رمزنگاری کشف گردید.

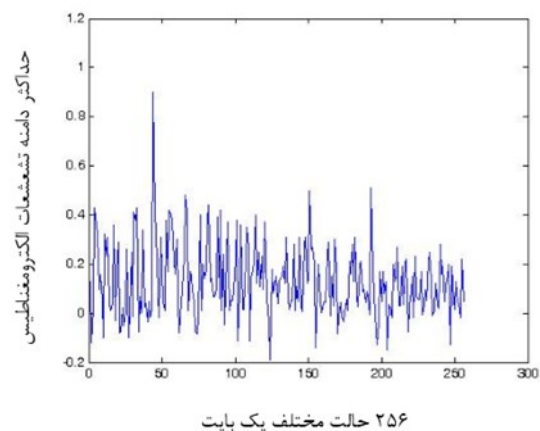
یکی از قسمت‌های بحرانی این حملات، ابزار اندازه‌گیری تشعشعات است که طراحی و ساخت پروب مغناطیسی استفاده‌شده در این کار به‌طور مفصل بررسی شد. محتمل است در آینده حملاتی که ترکیبی از چند منبع اطلاعات کانال جانبی مانند ترکیب حمله تحلیل الکترومغناطیس و القاء خطا هستند همراه با روش‌های قدرتمندتر آماری و مشاهده همزمان چند عملیات بتوانند به‌طور جدی‌تر سخت‌افزارهای رمزنگاری را مورد تهدید قرار دهند. از این‌رو برای مقابله با این تهدید امنیتی بایستی بسیار آماده و هشیار بود.

## ۷. مراجع

- [1] P. C. Kocher: Timing Attacks on Implementations of Diffie-Hellman, RSA, DSS, and other Systems, Advances in Cryptology CRYPTO 1996, (N. Koblitz, ed.), Lecture Notes in Computer Science, vol. 1109, pp. 104-113, Springer-Verlag, 1996.
- [2] Information Technology Research and Standardization-Center (INSTAC) Japanese Standardization Association (JSA). Tamper-resistance Standardization Research Committee. The Activity Report 2003-2006. <http://www.jsa.or.jp/stdz/instac/committe/index.htm>.
- [3] Paul C. Kocher, J. Jaffe, B. Jun, "Differential Power Analysis" CRYPTO'99, 19th Annual International Cryptology Conference, Santa Barbara, California, USA, August 15-19, 1999, LNCS1666, pages 388-397, Springer, 1999.
- [4] F. X. Standaert, L. vanOldeneel, D. Samyde, and J. J. Quisquater, "Power Analysis of FPGAs, How Practical is the Attack?" Proc. the International Conference on Field Programmable Logic and Application, pp. 701-711, 2003.
- [5] F.-X. Standaert, S.B. Ors, B. Preneel, "Power Analysis of an FPGA Implementation of Rijndael is Pipelining a DPA Countermeasure?" in the proceeding of CHES 2004, Lecture Notes in Computer Science, vol 3156, pp 30-44, Boston, USA, August 2004.
- [6] F.-X. Standaert, S.B. Ors, J.-J. Quisquater, "Power Analysis Attack against FPGA Implementation of the DES", in the proceeding of FPL 2004, Lecture Notes in Computer Science, vol 3203, pp 84-94, Antwerp, Belgium, September 2004.



شکل ۱۳. نمودار تفاضل مشاهدات تشعشعات الکترومغناطیس با یک



شکل ۱۴. نمودار حداکثر دامنه تشعشعات الکترومغناطیس به ازای همه حدس‌ها از بایت کلید

## ۶. نتیجه

حملات کانال جانبی از جمله مهم‌ترین تهدیدات برای امنیت سیستم‌های رمزنگاری معاصر هستند. اهمیت این حملات به‌گونه‌ای بوده است که به‌محض مطرح شدن، مورد توجه ویژه صاحب‌نظران این رشته، کارخانه‌های سازنده و مؤسسات مختلف استفاده‌کننده از این سیستم‌ها قرار گرفته‌اند. الگوریتم‌هایی نظیر الگوریتم رمزنگاری استاندارد یا AES از نظر ریاضی به‌اندازه کافی در مقابل حملات مقاوم هستند، اما این مقاله نشان داد هنگامی که بر روی ماژول‌های سخت‌افزاری مانند میکروکنترلر پیاده‌سازی می‌شوند در مقابل تحلیل الکترومغناطیس کاملاً آسیب‌پذیرند.

در این مقاله به بررسی امنیت میکروکنترلر AT89C51AC2 که یکی از تراشه‌های پرکاربرد در بازار است در برابر حمله تحلیل الکترومغناطیس تفاضلی پرداخته شد و ضمن معرفی تجهیزات سخت‌افزاری و نرم‌افزاری لازم و روش کنترل آنها، نحوه اعمال حمله تشریح شد. با استفاده از تجهیزات معرفی‌شده، از آنجاکه مرحله

- [12] Massoud Masoumi, "Differential Power Analysis, A Serious Threat to FPGA Security", Int. J. Internet Tech. and Secured Transactions, Vol. 4, No.1, 2012.
- [13] Massoud Masoumi and Soheyl Mohammadi, "A New and Efficient Approach to protect AES against Differential Power Analysis", IEEE WorldCIS 2011, London, UK, Feb. 2011.
- [14] <http://www.alldatasheet.com/datasheet-pdf/pdf/175350/ATMEL/AT89C51AC2.html>.
- [15] X. Yingqing, Luo, J. Ye H. "A standard shielded loop antenna with load resistor" Microwave, Antenna, Propagation and EMC Technologies for Wireless Communications, 2009 3rd IEEE International Symposium , 27-29 Oct. 2009, pp 405 – 407.
- [16] S.M.Nargesi, " design and create loop antenna with display system to measurement magnetic field", MSc thesis, Amirkabir University of technology, 2011(in Persian)
- [7] International Electrotechnical Commission. IEC 61967: Integrated Circuits - Measurement of Electromagnetic Emissions, 150 kHz to 1 GHz. <http://www.iec.ch>, 2003.
- [8] Karine Gandolfi, Christophe Mourtel and Francis Olivier, "Elecromagnetic Analysis: Concrete Results", Lecture Notes In Computer Science, vol. 2162, Proceedings of the Third International Workshop on Cryptographic Hardware and Embedded Systems, 2001,pp. 51 - 261.
- [9] H.Yousefi and M.Gardeshi,"introduction a successful SPA to AES implementation on PIC microcontroller", international journal of signal and data processing,2012,vol1,pp 49-58 (in Persian)
- [10] ADVANCED ENCRYPTION STANDARD (AES), Federal Information Processing Standards Publication 197, November 26, 2001.
- [11] J.-J. Quisquater and D. Samyde. Electromagnetic analysis (EMA) Measures and countermeasures for smart cards", In Proceedings of e-Smart 2001, Lectures Notes in Computer Science (LNCS), vol. 2140, pages 200–210, Springer, 2001.

Archive of SID